

(経路上の目盛りは10分ごと、JST)

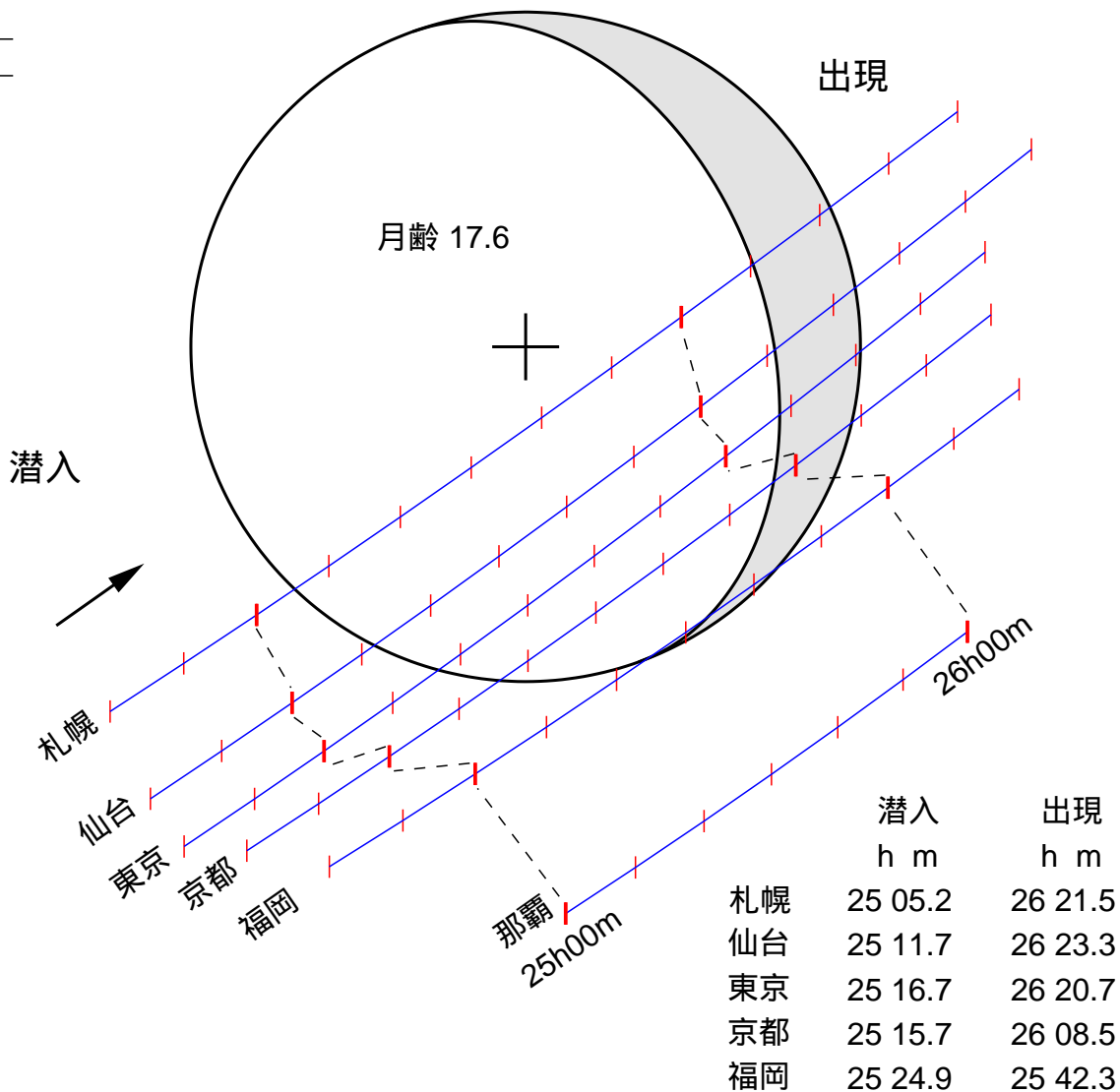


図2 ZC 1487 32 Leo (1.3等)の潜入時刻(JST)

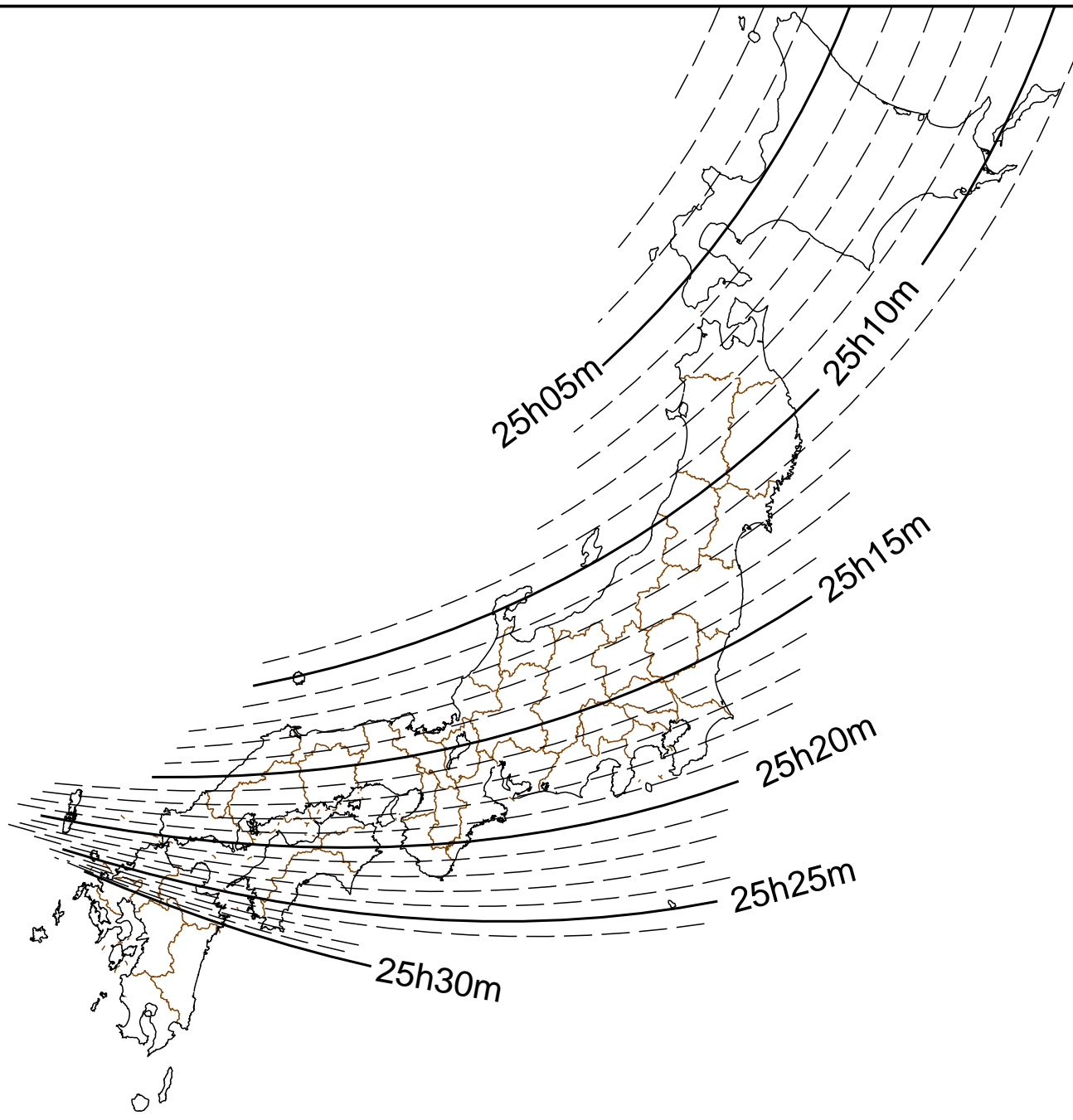


図3 ZC 1487 32 Leo (1.3等) の出現時刻(JST)

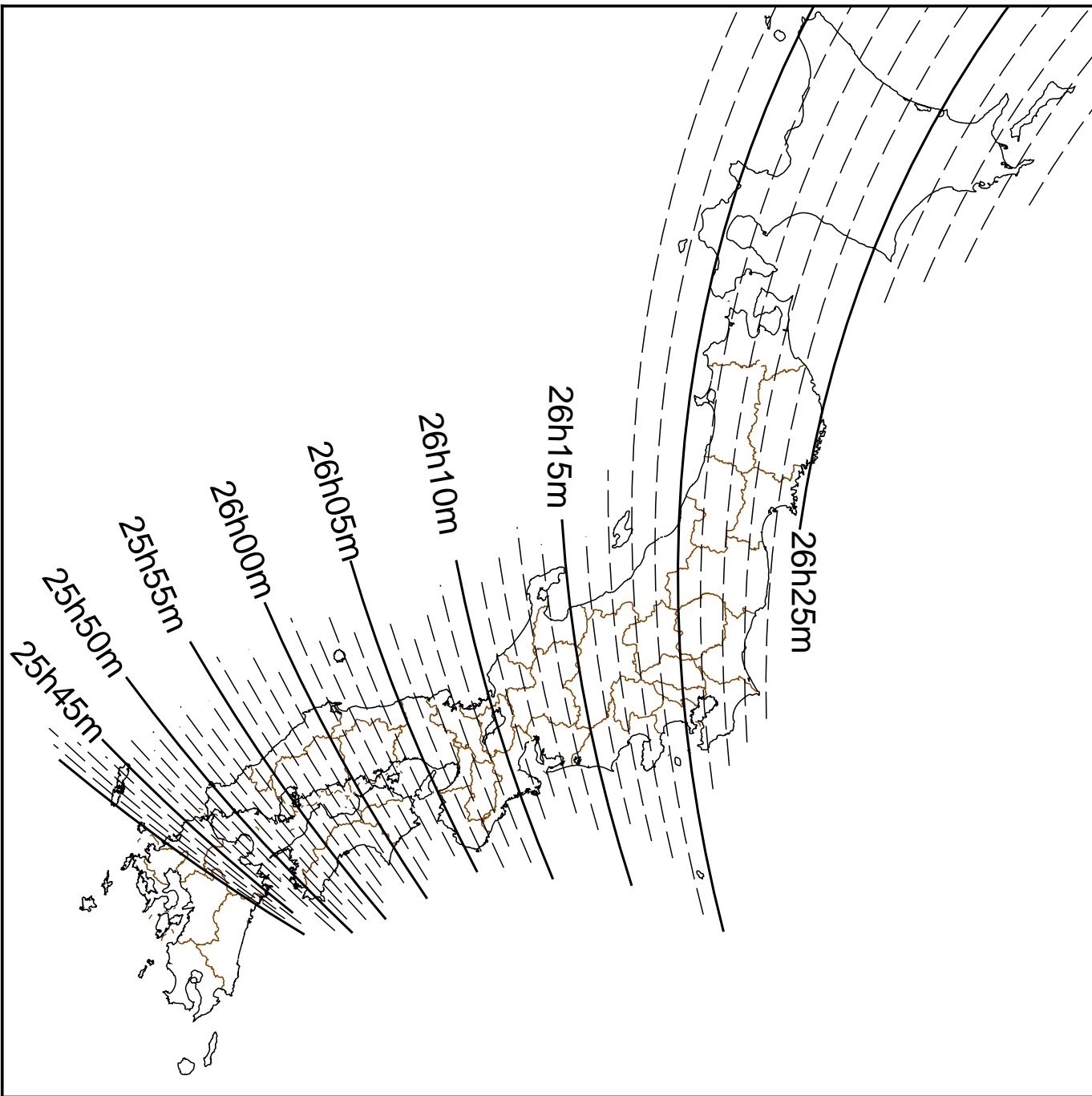
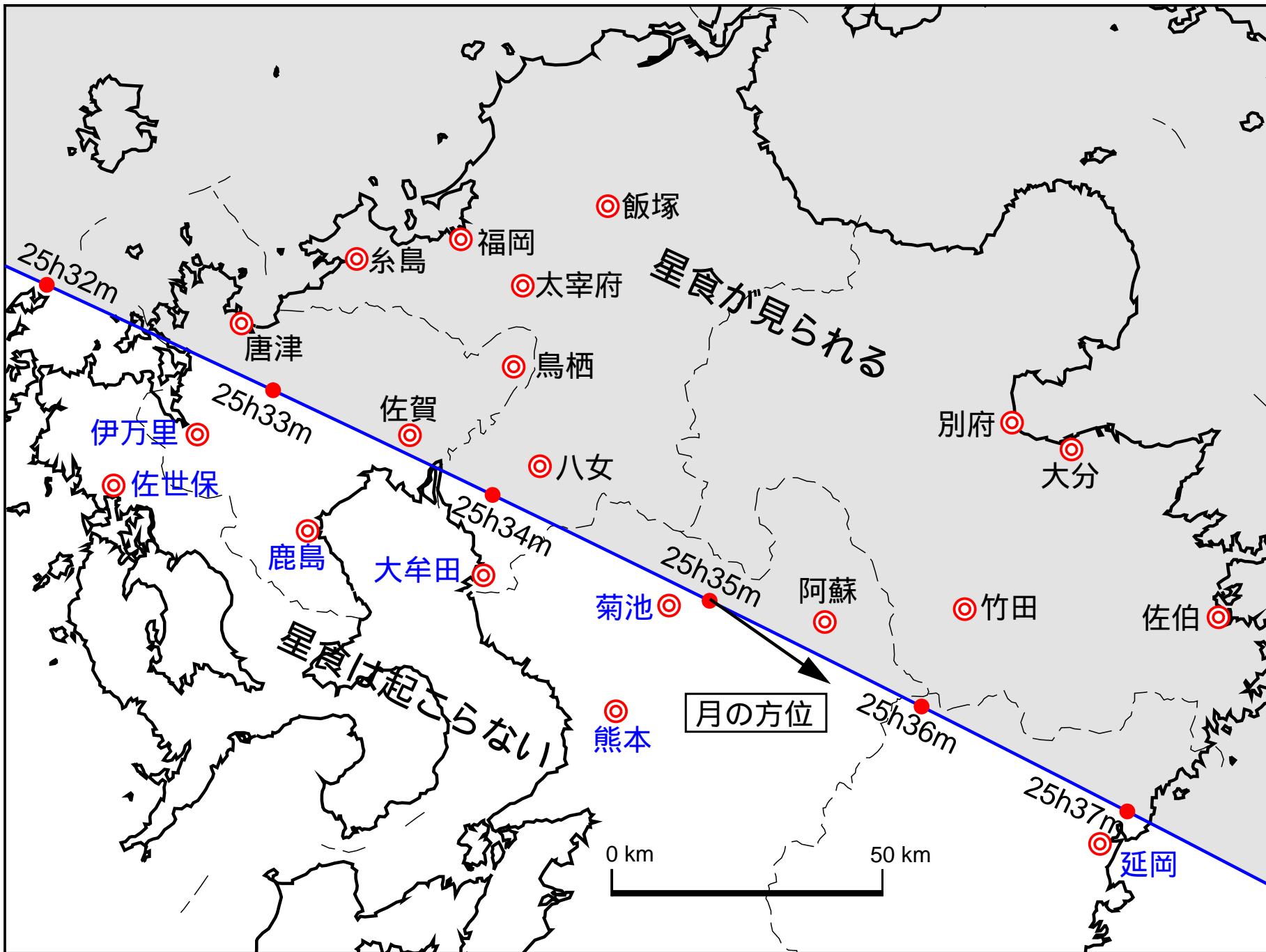


図4 レグルスの南限界線(2026年1月6日深夜)



月の自転軸からの位置角 (度)

195

200

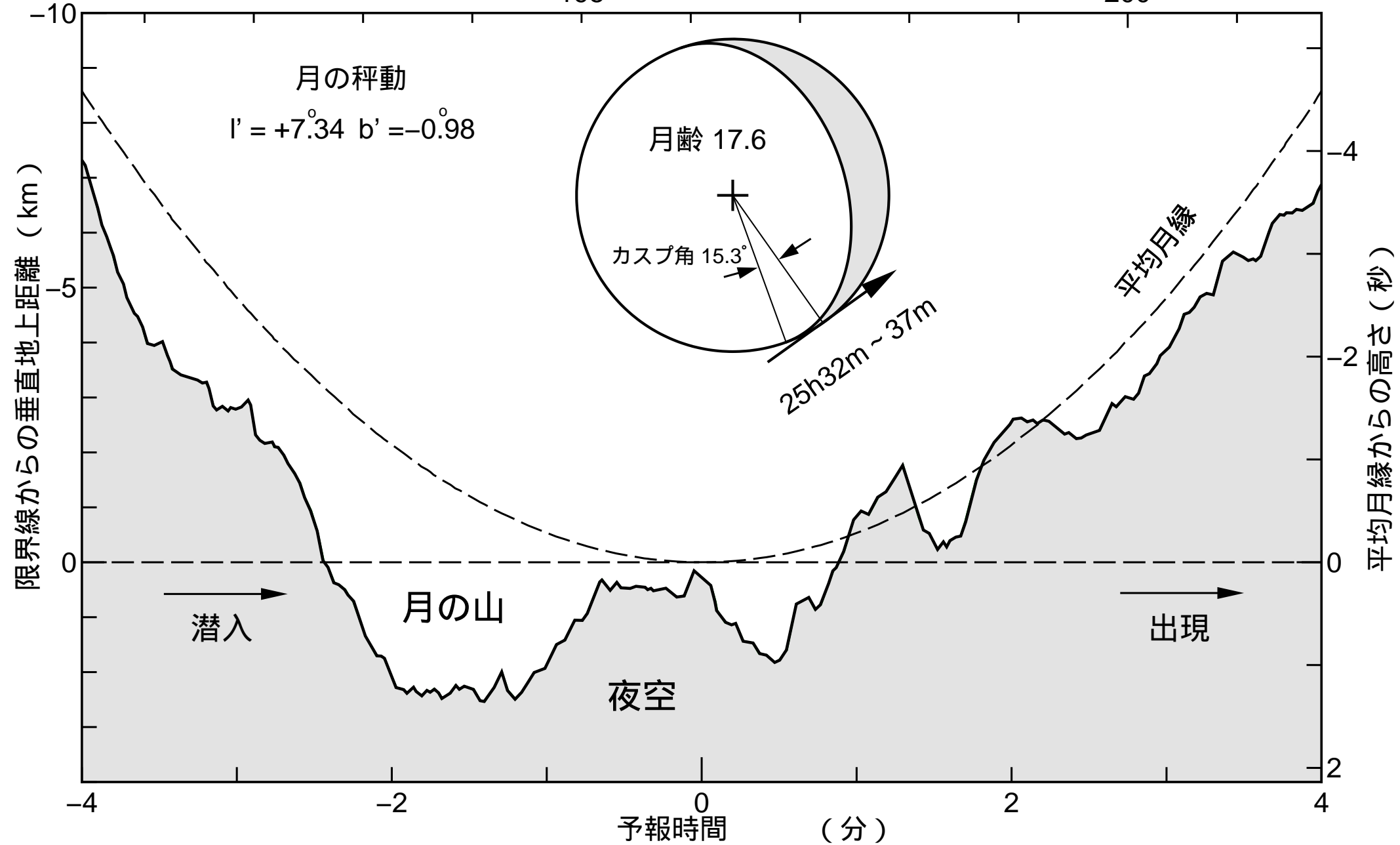


図5 1月6日(火) レグルス南限界暗縁接食月縁

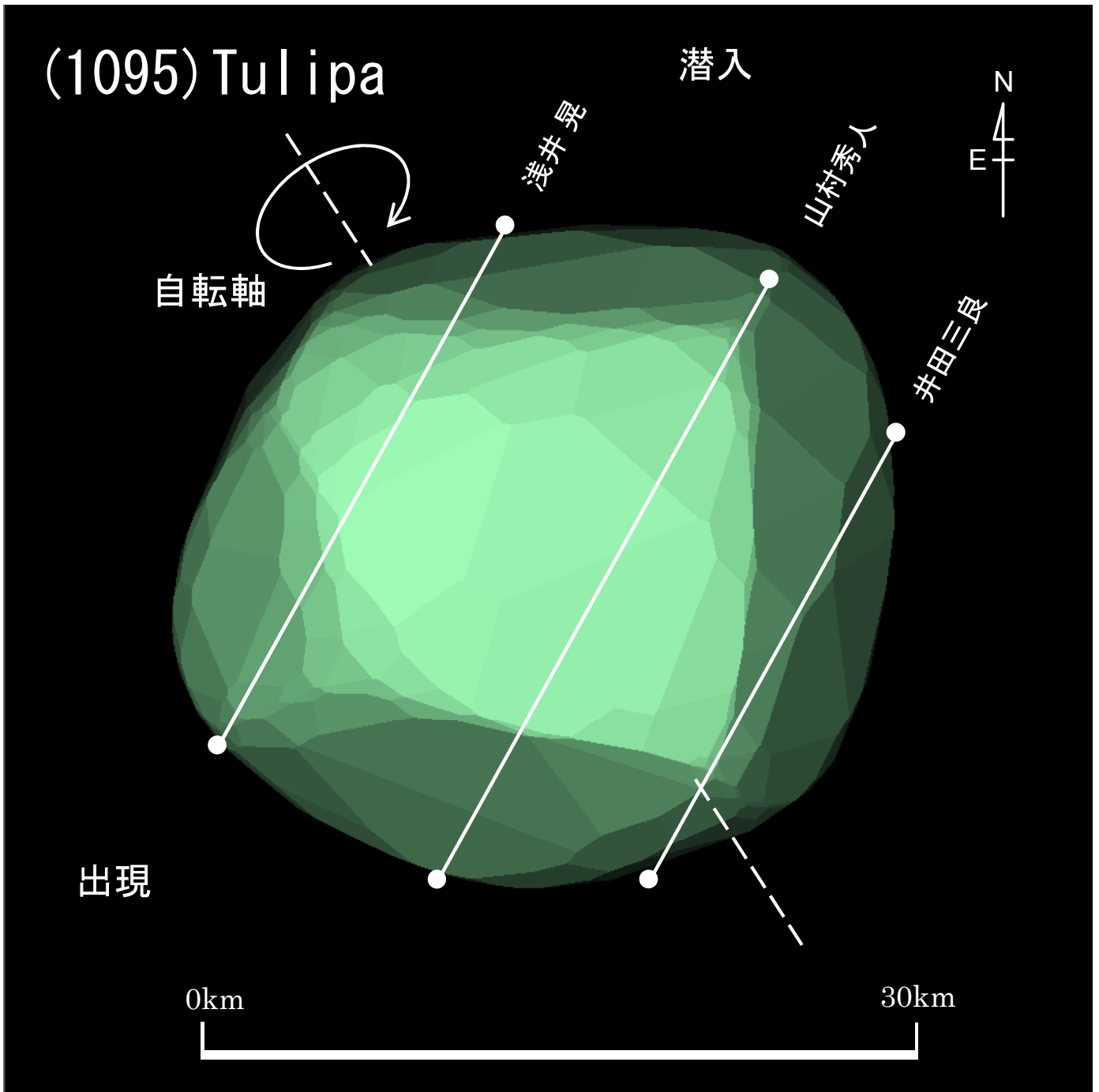


図6 (1095) Tulipa 2025年3月9日 11h58m35s UT DAMIT Model 1779 ($\lambda = 143$ 、 $\beta = +40$)※1
 $P = 33^\circ$ 、 $\beta_e = -37^\circ$ 、 $\lambda_e = -18$ 、Scale Factor 1: 23.0、 $k = 0.984$ 、 $B = 274.0^\circ$

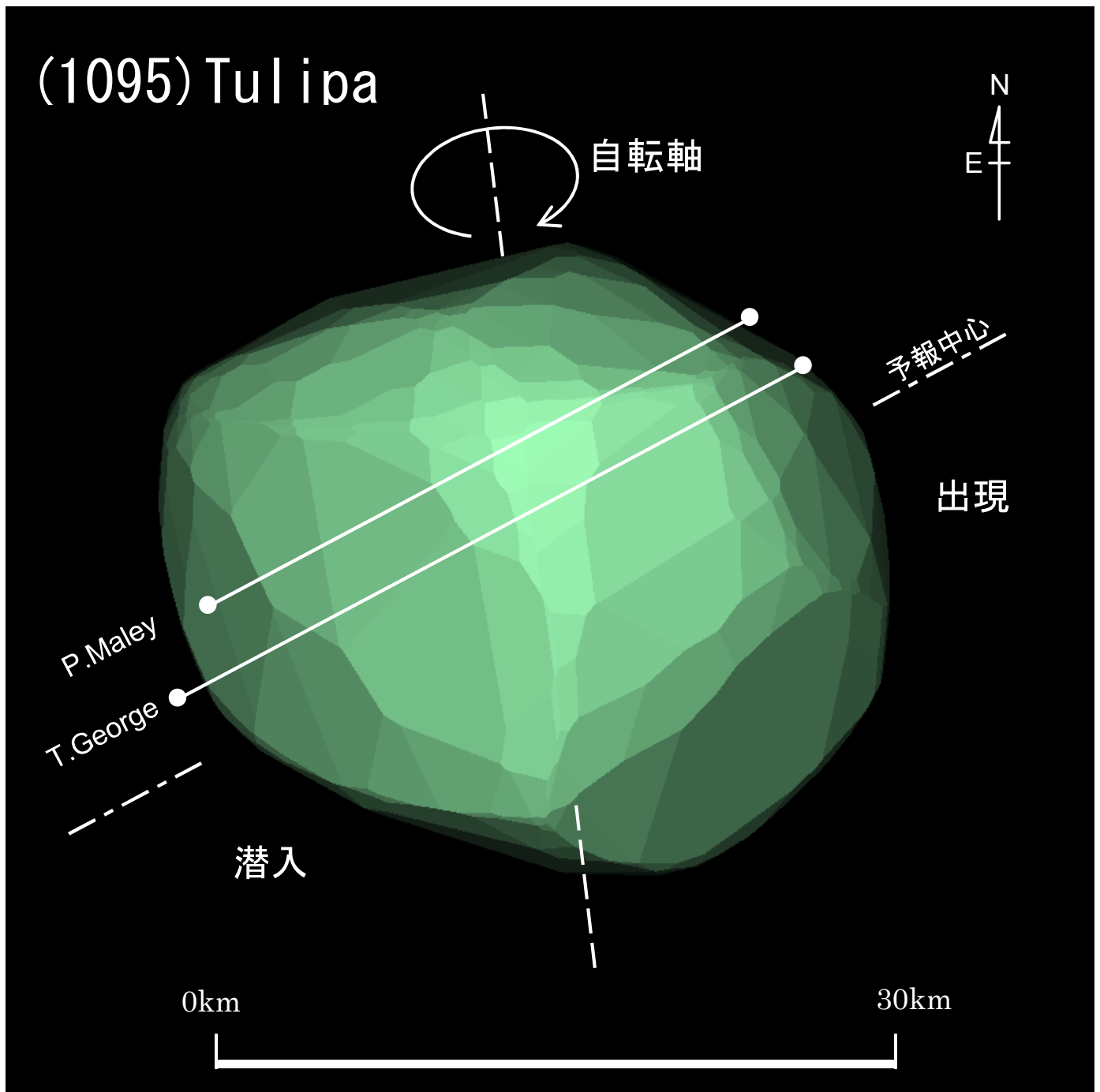


図7 (1095) Tulipa 2019年12月13日 13h08m46s UT DAMIT Model 1779 ($\lambda = 143$ 、 $\beta = +40$) $\times 1$
 $P = 7^\circ$ 、 $\beta_e = -41^\circ$ 、 $\lambda_e = +182$ 、Scale Factor 1: 24.2、 $k = 0.973$ 、 $B = 66.1^\circ$

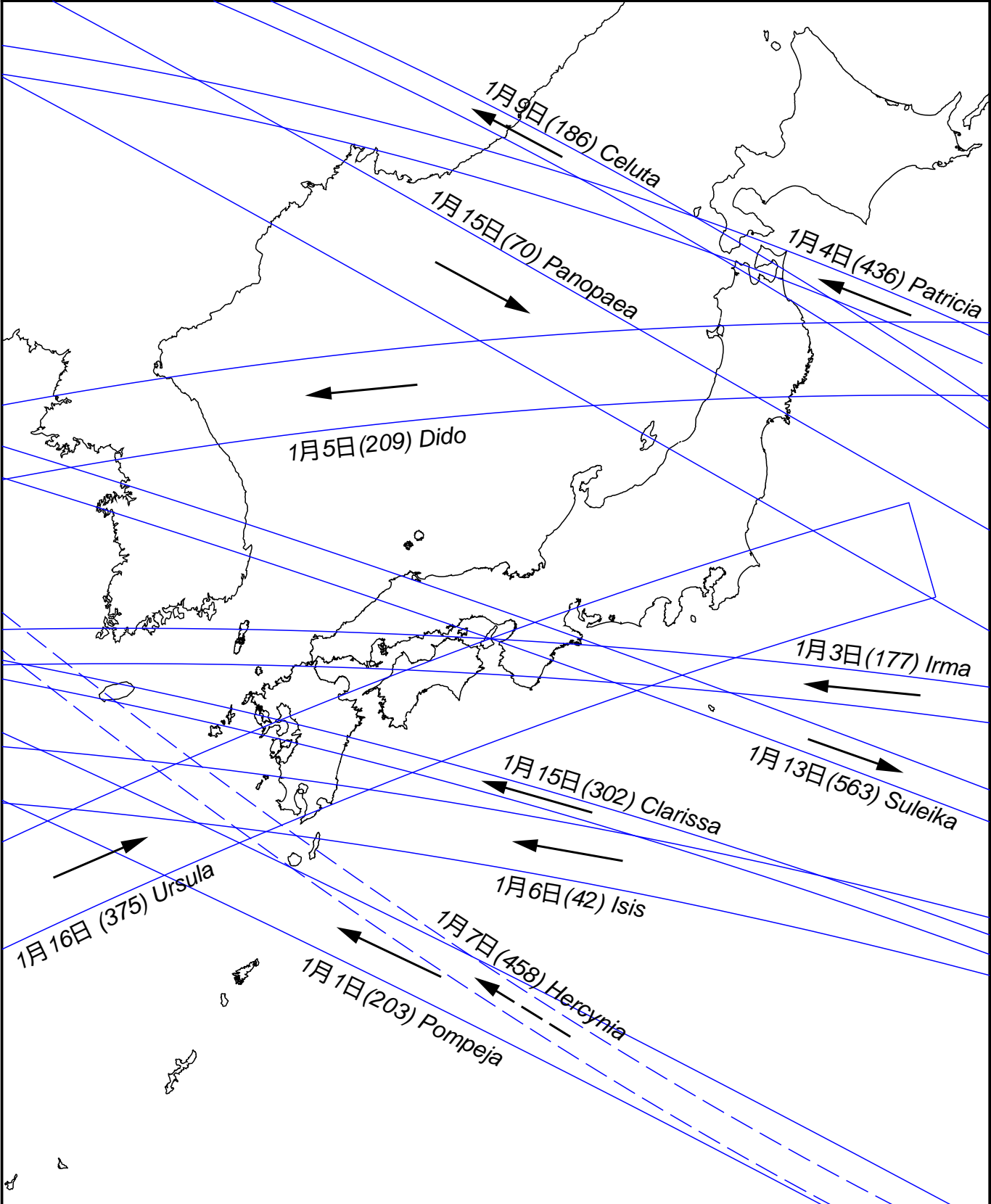


図8 小惑星による主な掩蔽帯経路 (S.Preston予報ほか) 2026年1月 前半
 矢印は影の移動方向を示す

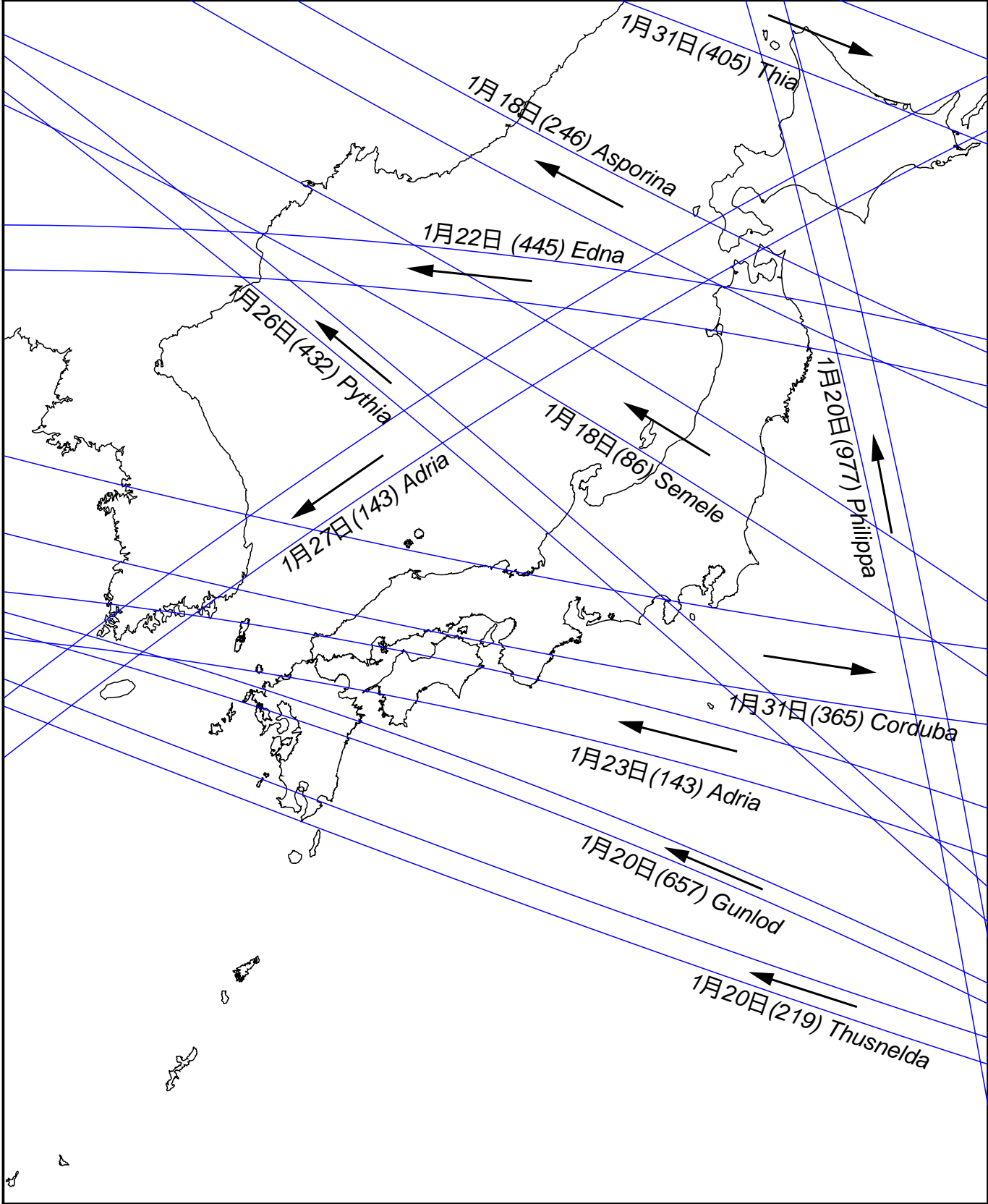


図9 小惑星による主な掩蔽帯経路 (S.Preston予報ほか) 2026年1月 後半
 矢印は影の移動方向を示す